



# DESENVOLVIMENTO DE SUPERCAPACITORES BASEADOS EM NANOCOMPÓSITOS DE ÓXIDO DE GRAFENO/NANOTUBOS DE CARBONO E ZnS

<u>GUILHERME KURZ MARON<sup>1</sup></u>; LUCAS DA SILVA RODRIGUES<sup>2</sup>; VERIDIANA GEHRKE<sup>2</sup>; NEFTALI LENIN VILLARREAL CARREÑO<sup>3</sup>

<sup>1</sup>Universidade Federal de Pelotas – <u>g\_maron@hotmail.com</u>
<sup>2</sup>Universidade Federal de Pelotas – lucasdasilva.r@icloud.com
<sup>2</sup>Universidade Federal de Pelotas – veridianagehrke@gmail.com
<sup>3</sup>Universidade Federal de Pelotas – neftali@ufpel.edu.br

## 1. INTRODUÇÃO

O aumento do consumo de energia, em grande parte dependente de combustíveis fosseis, vem causando impactos ambientais irreversíveis ao redor do mundo. Em busca por soluções a estes problemas ambientais, a pesquisa envolvendo desenvolvimento de dispositivos de armazenamento, conversão e geração de energia limpa vem crescendo exponencialmente. Devido à isso, pesquisas focadas no desenvolvimento de dispositivos eletroquímicos capazes de armazenar e converter energia de forma eficiente e utilizando fontes sustentáveis tornaram-se fundamentais e vem sendo realizadas por grupos de pesquisa no mundo todo (FOO et al., 2016; ZHENG et al., 2015)

Dentro deste conceito, o desenvolvimento de supercapacitores (SC) vem ganhando destaque. Estes dispositivos são capazes de amazenar energia e liberá-la de forma controlada, porém se diferenciam quando comparados com baterias devido a caracteristicas como ciclos rapidos de carga e descarga com alfa densidade de energia, longa durabilidade e configurações de montagem mais simples. Nos supercapacitores, a energia pode ser armazenada através de dois mecanismos: o primeiro, denominado capacitor eletrico de dupla camada (EDCL, electric doube layer capacitor) onde a energia é armazenada atraves das cargas presentes na interface eletrodo/eletrólito. No segundo mecanismo, chamado pseudocacitor (PC), a energia é armazenada devido à reações faradaicas que ocorrem na superficie do material (ZHANG; ZHOU; ZHAO, 2009). Materiais que possuem sua estrutura baseada em carbono normalmente apresentam o mecanismo de armazenamento de dupla camada eletrica e inumeros estudos vem sendo desenvolvidos buscando o mellhor desempenho destes materiais. O uso de oxido de grafeno reduzido (rGO, reduced graphene oxide) e nanotubos de carbono (CNT, carbon nanotubes) como materiais que compoe eletrodos de SC se tornam excelentes alterativas devido às suas boas propriedades eletricas,

como boa condutividade e mobilidade ionica, alem de boa resistencia quimica e possibilidade de se realizar modificações em sua estrutura (DE VOLDER, MICHAEL F. L. SAMEH H. TAWFICK et al., 2013; HAMMOND et al., 2016).

Com isso, este trabalho tem como objetivo o estudo das propriedades eletroquimicas de um nanocomposito 3D no formato de esponja de oxido de grafeno reduzido, nanotubos de carbono e sulgeto de zinco (rGO/MWCNTf-ZnS), visando sua aplicação como eletrodos para supercapacitores.

#### 2. METODOLOGIA

A produção dos nanocompósitos pode ser dividida em três etapas principais: a primeira etapa consiste na funcionalização química dos nanotubos de carbono de parede múltipla ( diâmetro variando entre 6-9 nm e comprimento de 5 µm, Sigma-Aldrich) através de um ataque químico com ácidos sulfúrico e nítrico (Synth), assim como na obtenção do GO, por meio de um processo de oxidação de grafite, baseado no método de Hummers. A segunda etapa consiste na síntese dos nanotubos de carbono modificados com sulfeto de zinco (MWCNTff-ZnS) por meio da síntese hidrotermal assistida por micro ondas, utilizando acetato de zinco e tiureia como precursores. A ultima etapa, envolvendo a obtenção dos nanocompósitos 3D foi baseada em uma redução química empregando ácido ascórbico (Synth). Três amostras foram produzidas, variando a concentração de MWCNTf-ZnS (10, 30 e 50 % em proporção de massa referente ao rGO). Uma quarta amostra de rGO puro também foi produzida, para fins de comparação dos resultados.

#### 3. RESULTADOS E DISCUSSÃO

A Figura 1 exibe os resultados estruturais e morfológicos que comprovam a eficácia da metodologia empregada para a produção dos nanocompósitos. Na Figura 1a pode ser observado os padrões de difração obtidos pela técnica de difralção de raios-X (DRX). Os picos em 29.14°, 48.31°, 57.48° são associados aos planos (111), (220) e (311) referentes a fase cubica do sulfeto de zinco, respectivamente. As bandas observadas em 24.36° e 43.04° correspondem aos planos (002) e (110) do rGO. Corroborando com os resultados de DRX, a imagem de microscopia eletrônica de varredura de alta resolução do MWCNTf-ZnS mostra partículas esféricas de ZnS crescidas na superfície dos nanotubos de carbono. Além disso, o mapeamento químico observado na Figura 1b confirma a presença dos elementos C, Zn e S.

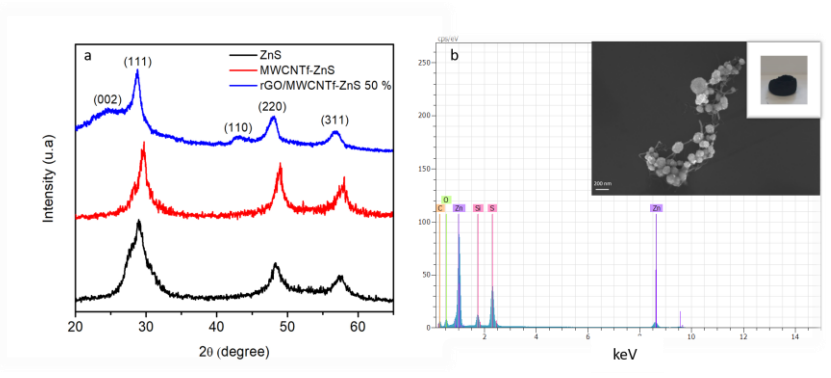


Figura 1 análise de difração de raios-X (a) e mapeamento químico do nanocompósito (em detalhe a microscopia eletrônica de varredura e uma imagem do nanocompósito 3D no formato de esponja)

As curvas de voltametria cíclica a uma taxa de varredura de 10 mVs-1 estão apresentadas na figura 2a. A forma simétrica retangular das curvas, sem a presença de picos de oxidação e redução indica uma dominância comportamento de dupla camada elétrica nos eletrodos. Além disso, sabe-se que a área das voltametrias cíclicas estão associadas com a performance dos supercapacitores em função de sua capacitância especifica. Como pode-se observar, a amostra contendo 50% de MWCNTf-ZnS apresenta uma maior área, indicando sua melhor performance. Os resultados de carga e descarga galvanostática para uma densidade de corrente de 0.1 A.g-1 estão expostos na figura 2b. como observado anteriormente, uma grande diferença entre o rGO e os nanocompósitos estão ilustrados. Pode ser visto que as curvas apresentam um formato triangular simétrico, corroborando com as curvas de voltametria cíclica e confirmando a predominância do mecanismo de dupla camada elétrica. Além disso, os maiores tempos de carga e descarga indicam o melhor desempenho dos nanocompósitos. Através dos resultados de carga e descarga, os valores de capacitância especifica das amostras foram calculados para densidades de corrente aplicados e plotados na figura 2c. O maior valor de capacitância especifica foi obtido para amostra contendo 50% de MWCNTf-ZnS, atingindo o valor de 69 F.g<sup>-1</sup>. Este melhor desempenho atribuído a presença de diferentes quantidades de MWCNTf-ZnS modificando a matriz de rGO se deve a diminuição da resistência interna promovida pelos nanotubos de carbono, que foram capazes de criar pequenos caminhos que facilitaram a mobilidade iônica entre a superfície dos eletrodos e resultaram em melhora das propriedades eletroquímicas do material.

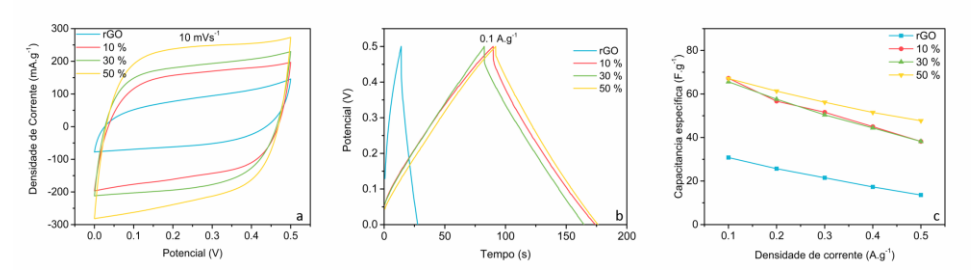


Figura 2 Análises eletroquimicas dos nanocompósitos:voltametria cíclica a uma taxa de 10 mVs<sup>-1</sup> (a); carga e descarga galvanostática (b); e valores de capacitância especifica em função de diferentes densidades de corrente.

### 4. CONCLUSÕES

Uma metodologia simples e eficaz para produção de nanocompósitos formados por uma matriz de rGO modificada com diferentes concentrações de nanotubos de carbono revestidos por partículas de sulfeto de zinco, visando sua aplicação como eletrodos para supercapacitores é foi descrita. O material proposto apresentou excelentes propriedades eletroquímicas, com mecanismo de dupla camada elétrica próximo a um de um capacitor ideal, como pode ser observado nos resultados de voltametria cíclica e carga e descarga. Além disso, os resultados indicaram que a adição de 50% em massa de MWCNTf-ZnS resultou no melhor desempenho, tanto em termos de capacitância especifica, como performance em geral, se mostrando um material promissor para aplicação como eletrodos para supercapacitores.

Os autores agradecem à Coordenação de Aperfeiçoamento Pessoal de Nível Superior-Brasil (CAPES)- Finance Code 001.

#### 5. REFERÊNCIAS BIBLIOGRÁFICAS

DE VOLDER, MICHAEL F. L. SAMEH H. TAWFICK, R. H. B. AND et al. Carbon Nanotubes: Present and Future Commercial Applications. **Science**, v. 339, n. 6119, p. 535–539, 2013.

FOO, C. Y. et al. High-performance supercapacitor based on three-dimensional hierarchical rGO/nickel cobaltite nanostructures as electrode materials. **Journal of Physical Chemistry C**, v. 120, n. 38, p. 21202–21210, 2016.

HAMMOND, J. L. et al. Electrochemical biosensors and nanobiosensors. **Essays in biochemistry**, v. 60, n. 1, p. 69–80, 2016.

ZHANG, L. L.; ZHOU, R.; ZHAO, X. S. Carbon-based materials as supercapacitor electrodes. **Journal of Materials Chemistry**, v. 38, n. 29, p. 2520–2531, 2009.

ZHENG, Q. et al. Cellulose nanofibril/reduced graphene oxide/carbon nanotube hybrid aerogels for highly flexible and all-solid-state supercapacitors. **ACS Applied Materials and Interfaces**, v. 7, n. 5, p. 3263–3271, 2015.